

تولید بهینه نانوکریستال سلولز از ساقه پنبه با استفاده از شرایط هیدرولیز اسیدی

مهدیه مازندرانی^{۱*}، علی قاسمیان^۲، احمد رضا سرانیان^۳، مهدی مشکور^۳ و سید رحمان جعفری پتروودی^۴

۱* - نویسنده مسئول، کارشناس ارشد، صنایع خمیر و کاغذ، دانشگاه علوم کشاورزی و منابع طبیعی گرگان

پست الکترونیک: Mahdiye.mazandarani@yahoo.com

۲- دانشیار، علوم و تکنولوژی خمیر و کاغذ، دانشگاه علوم کشاورزی و منابع طبیعی گرگان

۳- استادیار، تکنولوژی و مهندسی چوب، دانشگاه علوم کشاورزی و منابع طبیعی گرگان

۵- استادیار، گروه فناوری تولید سلولز و کاغذ، دانشکده مهندسی انرژی و فناوری‌های نوین، دانشگاه شهید بهشتی، استان مازندران

تاریخ دریافت: خرداد ۱۳۹۳
تاریخ پذیرش: اسفند ۱۳۹۳

چکیده

در پژوهش حاضر، آماده‌سازی ساقه پنبه (رقم ساحل) به عنوان یکی از ضایعات کشاورزی متداول با هدف تهیه نانوکریستال سلولز در سه مرحله تهیه خمیر سودا-آتراکینون، لیگنین زدایی و تیمار قلیایی انجام شد. به منظور دستیابی به شرایط بهینه تولید نانوکریستال سلولز، هیدرولیز اسیدی آلفاسلولز تهیه شده با استفاده از اسید سولفوریک ۶۴ درصد با دو پارامتر متغیر زمان ۲۵ و ۴۵ دقیقه و دمای ۳۵، ۴۵ و ۵۵ درجه سانتی‌گراد انجام شد. برای شناسایی ویژگی‌های کمی و کیفی نانوکریستال‌های سلولز از میکروسکوپ نیروی اتمی، آنالیز پراش پرتو ایکس و آنالیز پراکندگی نور دینامیکی استفاده شد. نتایج حاصل بر اساس تصاویر میکروسکوپ نیروی اتمی نشان داد که شرایط شدیدتر تیمار موجب کاهش ضخامت نانوکریستال‌های سلولز شد. همچنین نتایج پراش پرتو ایکس حکایت از آن داشت که مراحل آماده‌سازی آلفاسلولز و همچنین تیمارهای هیدرولیز اسیدی در افزایش درجه کریستالیته تأثیر بهسزایی داشته است. بر اساس نتایج پراکندگی نور دینامیکی، ۹۸/۷ درصد کریستال‌های تولید شده در تیمار با دمای ۵۵ درجه سانتی‌گراد و زمان ۴۵ دقیقه در محدوده قطری ۹۵-۱۸ نانومتر بودند که بیشترین فراوانی آنها ۱۸-۳۹ نانومتر بوده است. از این رو شرایط تیمار مذکور به عنوان بهترین شرایط تولید نانوکریستال سلولز از ساقه پنبه تعیین شد.

واژه‌های کلیدی: فناوری نانو، هیدرولیز اسیدی، نانوکریستال سلولز، ساقه پنبه.

زنگیری در حدود ۱۰۰۰ واحد گلکوزی دارد (Shostrom, 2002). درجه پلیمریزاسیون سلولز طبیعی زیاد است. برای مثال درجه پلیمریزاسیون فیر پنبه بین ۱۳۰۰۰-۱۴۰۰۰ است. درجه پلیمریزاسیون میکروکریستال سلولزهای معمول بین ۱۳۰-۱۸۰، سلولز میکروفیریله شده بیشتر از ۷۰۰ و درجه پلیمریزاسیون نانوکریستال سلولز ۱۷/۵ تخمین زده شد

مقدمه ساختار دیواره سلول گیاهی عمدتاً از سلولز، همی‌سلولز و لیگنین تشکیل شده است. سلولز همانند اسکلتی است که مواد دیگری مانند همی‌سلولز و لیگنین به ترتیب به عنوان ماده زمینه‌ای و پوسته غلاف مانند آن را دربر می‌گیرند. طول یک مولکول سلولز طبیعی حداقل ۵۰۰۰ نانومتر است. این مولکول

(۲۰۰۹) بهوسیله الیاف پنبه، Teixeira و همکاران (۲۰۱۰) با استفاده از باگاس و Henrique و همکاران (۲۰۱۲) بهوسیله دانه‌های مانگو با استفاده از اسیدسولفوریک در غلاظت‌های متفاوت و در زمان‌ها و دماهای متفاوتی انجام شد. نانو کریستال‌های تولیدشده در قطربی کمتر از ۲۰ نانومتر و طول بیشتر از ۱۰۰ نانومتر بودند. محققان طی پژوهش‌های انجام شده، یافته‌نده که افزایش دما و زمان هیدرولیز اسیدی منجر به تخریب ساختار کریستالیته و کاهش بازده نانو کریستال‌های سلولز می‌شود.

در پژوهش حاضر از ساقه پنبه که از جمله ضایعات کشاورزی است و دارای ۴۷/۵ درصد سلولز بوده است (Mazandrani and Ghasemian, 2013) به عنوان ماده اولیه برای تولید این نانو ماده مورد استفاده قرار گرفت.

مواد و روش‌ها

مواد شیمیایی مورد استفاده

هیدروکسید سدیم از شرکت Merck با درصد خلوص ۹۹ درصد، آنتراکینون از شرکت Merck با درصد خلوص ۹۹ درصد، کلریت سدیم از شرکت Fluka با درصد خلوص ۹۹ درصد، هیدروکسید پتاسیم از شرکت Chem-Lab با درصد خلوص ۸۵ درصد و اسیدسولفوریک از شرکت Merck با درصد خلوص ۹۷-۹۵ درصد استفاده شد. مواد شیمیایی ذکر شده به محض تهیه مورد استفاده قرار گرفته‌اند.

تهییه آفاسولوز با استفاده از خمیر کاغذ

محل نمونه‌برداری

ساقه پنبه (رقم ساحل) به صورت کاملاً تصادفی از زمین کشاورزی استان گلستان جمع‌آوری گردید و از بین ساقه‌های جمع‌آوری شده تعدادی ساقه با قطرهای مختلف انتخاب شدند. بعد از پوست‌کنی، ساقه پنبه خرد شده و هوا-خشک گردید. سپس شرایطی از پخت خمیر سودا-آنترکینون با قلیائیت فعال ۲۰ درصد، دمای ۱۷۰ درجه

(Li *et al.*, 2011). کوچک‌ترین عنصر ساختمانی اسکلت سلولزی، یک لیفچه ابتدایی است. این لیفچه مشکل از ۳۶ مولکول سلولز موازی است که بهوسیله پیوندهای هیدروژنی در کنار یکدیگر قرار گرفته؛ که مناطق کریستالی بسیار منظمی را به ناحیه نامنظم آمورف متصل می‌کند. در سلولز طبیعی، طول مقطع آن که احتمالاً به شکل مستطیل است به طور متوسط ۳×۱۰ نانومتر است. با وجود این می‌توان گفت که زنجیر مولکول سلولز در طول خود چندین ناحیه کریستالی دارد (Shostrom, 2002). در منابعی دیگر، طول مناطق کریستالی را در حدود ۱۵۰-۵۰ نانومتر و مناطق آمورف را ۲۵-۵۰ نانومتر مطرح کردد (Ioelovich, *et al.*, 2012).

معروف‌ترین روش تولید نانوکریستال سلولز هیدرولیز اسیدی است که از فرایندهای «بالا به پایین» در تولید نانوذرات به‌شمار می‌رود. در روش بالا به پایین، ماده حجیم اولیه با روش‌های مکانیکی، شیمیایی و یا هر نوع دیگری از انرژی به نانو ذرات تبدیل می‌شود. در معمول‌ترین روش ممکن در حضور اسیدهای قوی و نیروهای مکانیکی، سلولز طبیعی به کریستال‌های سلولز در ابعاد میکرو یا نانو می‌شکند. در هنگام هیدرولیز یون هیدرونیوم به درون مناطق آمورف به عنوان معایب ساختاری نفوذ کرده و منجر به شکست این مناطق می‌شود در پایان این فرایند، مناطق کریستال باقی می‌مانند. مشخصات کلی نانوکریستال سلولز به شرایط هیدرولیز اسیدی نظیر دما، زمان، اسید مورد استفاده، غلاظت اسید و منبع سلولز بستگی دارد (Krishnamachari *et al.*, 2011). سلولز به‌طور معمول از گیاهان سنتز می‌شود. هرچند که برخی از باکتری‌ها و موجودات دریایی تولیدکننده سلولز می‌باشند (Kargarzadeh *et al.*, 2012). اما اخیراً تولید نانوکریستال سلولز از الیاف سلولز طبیعی متفاوت مانند بقایای موز، کاه گدم، سیزال و ... انجام شده است (Plackett and Siro, 2010) که در ذیل به مواردی از این قبیل اشاره می‌شود.

تولید نانوکریستال سلولز با استفاده از روش هیدرولیز اسیدی توسط پژوهشگرانی مانند Martins و همکاران

هیدرولیز اسیدی

هیدرولیز اسیدی با استفاده از اسیدسولفوریک ۶۴ درصد (نسبت اسید به سلولز: ۱۳ سی سی به ازای گرم ۱) با شرایط دمایی و زمانی متفاوت در ۳ سطح انجام شد. متغیرهای فرایندی در جدول ۱ ارائه شده است. بر اساس این متغیرها، تعداد ۹ تیمار آزمایشی (کد A تا I) به دست آمد. تیمارهای مذکور شامل: C° A: H=25 min-T=35 C° کد، B: H=25 C° کد، C: H=25 min-T=45 C° کد، E: H=35 min-T=45 C° کد، D:H=35 min-T=35 C° کد، G: H=45 min-T=35 C° کد، F: H=35 min T=55 C° کد، H: H=45 min-T=45 C° کد، I: H=45 min-T=55 C° کد.

سانتی گراد، نسبت مایع پخت به خرد ساقه پنبه ۶ به ۱ و ۱/۰ درصد وزن خشک خرد ساقه پنبه آتراکینون انتخاب شد. در مرحله بعد با انجام لیگنین زدایی بر اساس روش Wise و همکاران (۱۹۸۹) با استفاده از کلریت سدیم با استفاده از یک مرحله (یک ساعت) لیگنین زدایی انجام شد. سپس تیمار قلیایی به منظور تهیه آلفاسلولز از هولوسلولز مرحله قبل، طبق روش Gong و همکاران (۲۰۱۱) با استفاده از محلول هیدروکسید پتاسیم ۶ درصد با نسبت قلیا به هولوسلولز: ۱۰ سی سی به ازای ۱ گرم در دمای محیط انجام گردید.

جدول ۱- متغیرهای هیدرولیز اسیدی

نوع پارامتر	واحد	کم	متوسط	سطح مورد استفاده	زیاد
دما	درجه سانتی گراد	۲۵	۴۵	۵۵	۵۵
زمان	دقیقه	۲۵	۳۵	۴۵	۴۵

سرعت ۱۲۰۰۰ دور در دقیقه انجام گردید.

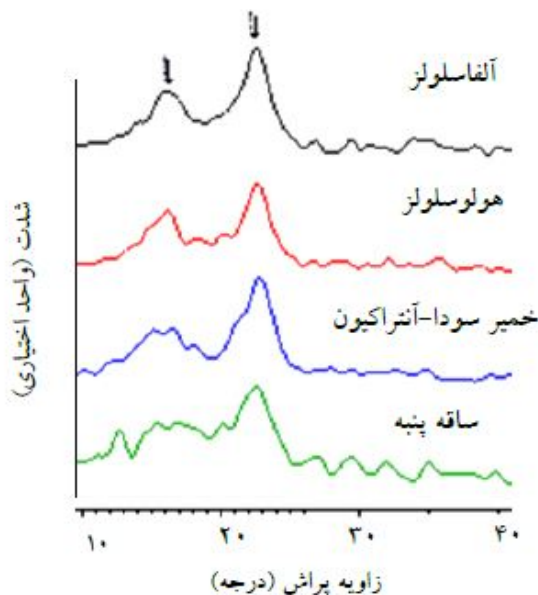
تعیین بازده

تعیین بازده بر طبق روش Fan و Li (۲۰۱۲) انجام شد. ابتدا مقدار مشخصی از آلفاسلولز (به عنوان مثال: ۲ گرم بر مبنای وزن خشک) طبق تیمار مشخص، هیدرولیز شد. سپس سوپیانسیون حاصل بعد از مراحل تهیه نانوکریستال در دمای ۱۰۵ درجه سانتی گراد تا زمانی که به وزن ثابت بر سد در آون خشک گردید. بدین طریق وزن خشک آلفاسلولز هیدرولیز شده به دست آمد. سپس با استفاده از اطلاعات روش پراکندگی نور در تعیین اندازه قطر ذرات، فراوانی ذرات کمتر از ۱۰۰ نانومتر به دست آمد و بازده طبق رابطه (۱) محاسبه شد (Fan and Li, 2012).

سپس مراحل تولید نانوکریستال سلولز طبق روش Bondeson و همکاران (۲۰۰۶) به وسیله افزودن قطره قطره اسید در غلظت مورد نظر بر روی سوپیانسیون آلفاسلولز در شرایط چرخش مکانیکی در حالی که ظرف نمونه درون حمامی از بین قرار دارد، انجام شد؛ تا بدین طریق بتوان از سیاه شدن نمونه جلوگیری کرد. سپس نمونه در شرایطی از دما و زمان مورد مطالعه قرار گرفت. بعد از گذر زمان هیدرولیز در دمای مورد نظر، نمونه از سیستم جدا شده و درون حمام آب بین قرار داده شد. سپس به منظور متوقف سازی واکنش حدود ۱۰ برابر حجم اولیه به آن آب اضافه گردید. در مرحله بعدی به منظور جداسازی اسید از نمونه، از دستگاه سانتریفیوژ (مدل ۳k۳۰) ساخت سیگما آلمان استفاده شد. در این مرحله ۶ دور سانتریفیوژ در دمای ۱۰ درجه به مدت زمان ۱۰ دقیقه در

نتایج مقایسه درجه کریستالیته نانوکریستال سلولز با پراش XRD

بر اساس محاسبات انجام شده طبق رابطه (۲) مقدار درجه کریستالیته در مراحل آماده‌سازی و همچنین در کلیه تیمارهای هیدرولیز اسیدی روند صعودی داشته است (جدول ۲). در بررسی حاضر تمامی تیمارهای شیمیایی با هدف خالص‌سازی بهمنظور تهییه آلفاسلولز منجر به افزایش درجه کریستالیته شده است (شکل ۱). همچنین درجه کریستالیته طی تیمارهای هیدرولیز اسیدی با افزایش زمان و دما بیشتر شده است که تیمارهای C, F, و I به مرتب از درجه کریستالیته بیشتری برخوردار بوده‌اند (شکل ۲).



شکل ۱- الگوی پراش پرتوایکس تیمارهای شیمیایی

$$\text{رابطه (۱): } \frac{mn}{M} \times 100 = \text{بازده (درصد)}$$

$$\begin{aligned} M &= \text{مقدار آلفاسلولز اولیه (گرم)} \\ m &= \text{مقدار آلفاسلولز هیدرولیز شده خشک شده (گرم)} \\ n &= \text{فراوانی ذرات کمتر از ۱۰۰ نانومتر (درصد)} \end{aligned}$$

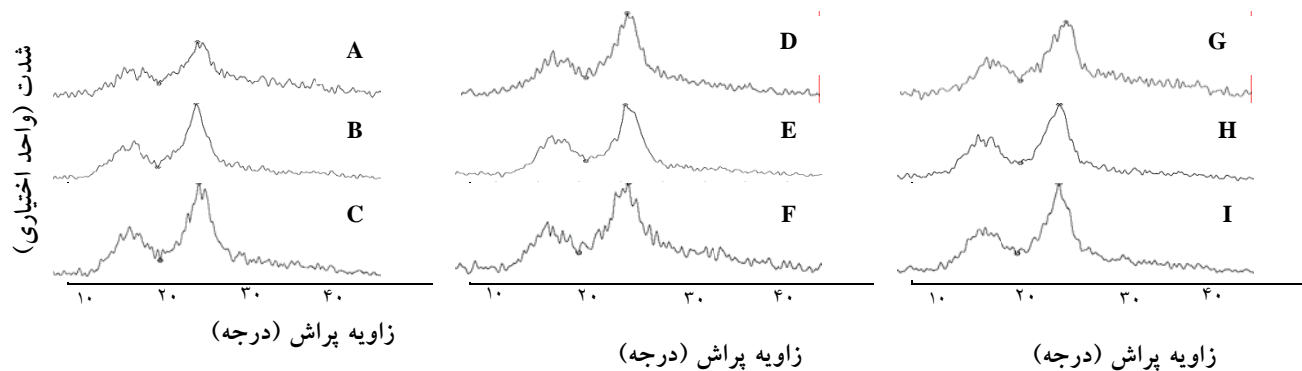
ارزیابی ویژگی‌های نانوکریستال سلولز میکروسکوپ نیروی اتمی از نوع دستگاه JPK آلمان برای تصویربرداری از نمونه‌ها استفاده شد. الگوی پراش پرتوایکس از دستگاه Expert Philips در دامنه 2θ با زوایای 10° تا 40° درجه به دست آمد. تعیین درجه کریستالیته با روش ارتفاع پیک و بر اساس معادله سگال (رابطه ۲) تعیین شد (Segal *et al.*, 1995).

$$\text{رابطه (۲): } \text{CrI} = \frac{(I - I_0)/I}{100}$$

که در آن:

$$\begin{aligned} \text{CrI} &= \text{درجه کریستالیته (\%)}, I = \text{ارتفاع پیک در زاویه} \\ \text{پراش دوتای ۲۲/۷} & 22/7 \text{ درجه}, I_0 = \text{ارتفاع پیک در زاویه پراش} \\ 18 \text{ درجه می‌باشد}. \end{aligned}$$

دستگاه پراکنندگی نور دینامیکی مدل ZEN ۳۶۰۰ در طول موج لیزر 633 nm نانومتر، بهمنظور تعیین قطر و پتانسیل زتای کریستال‌های سلولز استفاده شد. در حقیقت تعیین میانگین اندازه ذرات در ابعاد نانو با استفاده از روش تفرق نور پویا انجام شد. تفرق نور پویا، از طریق اندازه‌گیری حرکت براونی ذرات درون محلول رقیق‌شونده است. همچنین محاسبه پتانسیل زتای نانو ذرات بهوسیله حرکات الکترووفروز ذرات توسط دستگاه انجام گردید.



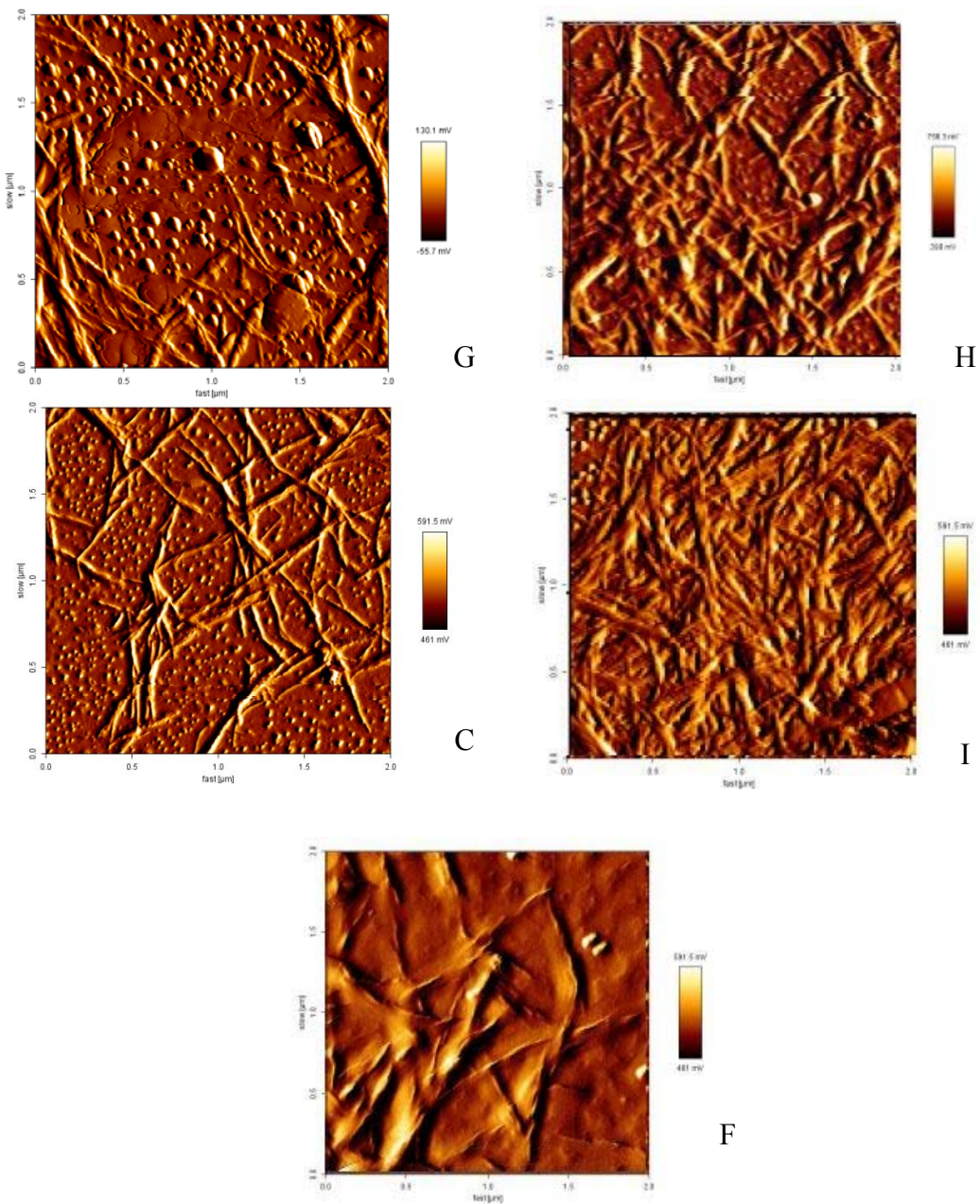
شکل ۲- الگوی پراش پرتوایکس تیمارهای هیدرولیز اسیدی

جدول ۲- درجه کریستالیته مراحل آماده‌سازی و تیمارهای هیدرولیز اسیدی

درجه کریستالیته	
%۴۰	ساقه پنبه
%۴۸/۱۴	تهیه خمیر سودا-آنتراکینون
%۵۴/۵۴	هولوسولور
%۶۰	آلفاسولور
%۶۴/۷۰	(تیمار A)
%۶۹/۷۰	(تیمار B)
%۷۰/۵۹	(تیمار C)
%۶۸/۷۵	(تیمار D)
%۷۱/۹۰	(تیمار E)
%۷۲/۴۲	(تیمار F)
%۶۸/۹۵	(تیمار G)
%۷۴/۳۳	(تیمار H)
%۷۵/۳۲	(تیمار I)
مراحل آماده‌سازی	
تیمارهای هیدرولیز	

کریستالها در تیمارهای شدیدتر واضح است. همچنین در شکل (۳) تصاویر میکروسکوپی در تیمارهای شدیدتر نیز نشان داده شده است.

آنالیز تصویری میکروسکوپ نیروی اتمی AFM تصاویر میکروسکوپی با استفاده از دستگاه AFM در ابعاد 2×2 میکرومتر از تمامی تیمارهای هیدرولیز تهیه گردید. طبق تصاویر میکروسکوپ نیروی اتمی، حضور



شکل ۳- تصاویر میکروسکوپ نیروی اتمی نانو کریستال های سلولز در تیمارهای متفاوت

تیمارهای C, F, G, H و I از جمله تیمارهایی می باشند که نسبت به سایر تیمارها در شرایط مشخص، پاسخ بهتری داده اند.

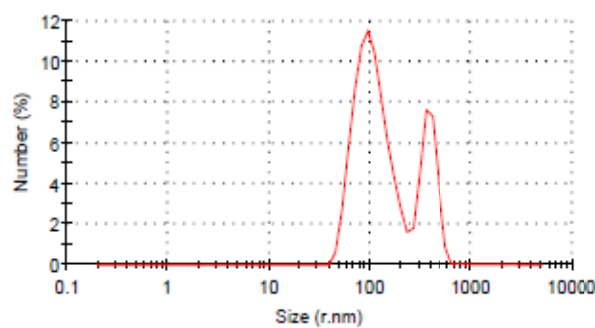
C, F و I تهیه شد و قطر کریستال ها توسط دستگاه پراکنده نور دینامیکی اندازه گیری شد (بر طبق شکل ۴). بر اساس محاسبات دستگاه، در تیمار C ۲۵ دقیقه و ۵۵ درجه سانتی گراد) مقدار ۳۹/۶ درصد کریستال های تولید شده در محدوده قطری ۴۴-۹۵ نانومتر و در تیمار F

پراکنده نور دینامیکی DLS (Dynamic Light Scattering) تعیین قطر کریستال ها به منظور بررسی دقیق تر پراکنده نور دینامیکی اندازه قطر نانو کریستال های تولید شده، نمودارهای DLS برای تیمارهای

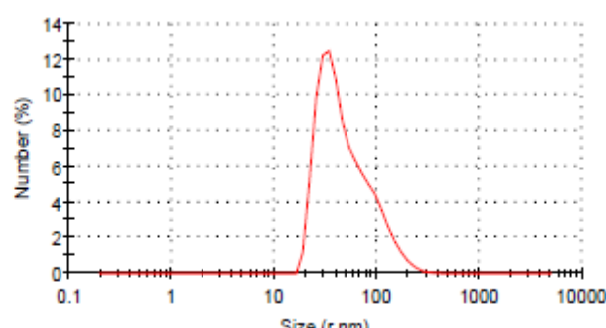
پتانسیل زتا

پتانسیل زتای تیمارهای C، F و I توسط دستگاه پراکندگی نور دینامیکی اندازه‌گیری شد. همان‌طور که در شکل (۵) نشان داده شد میانگین پتانسیل زتای تیمار -۲۱/۷=(I)، تیمار (F)=۱۷/۹- و تیمار (C)=۱۵/۸ به دست آمد.

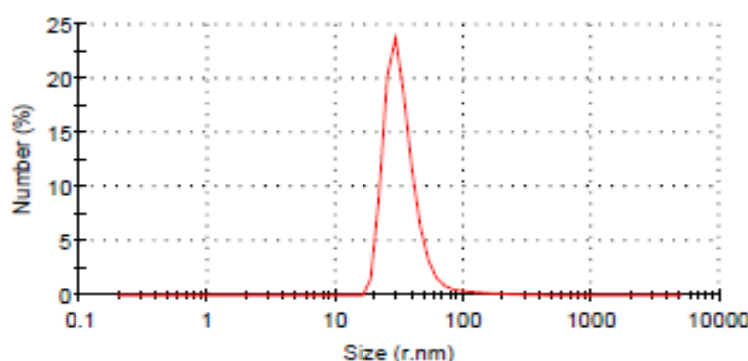
(۳۵) دقیقه و ۵۵ درجه سانتی‌گراد)، ۸۹/۲ درصد کریستال‌های تولیدشده در محدوده قطری ۱۸-۹۵ نانومتر بودند. در حالی که تیمار I ۴۵ دقیقه و ۵۵ درجه سانتی‌گراد)، ۹۸/۷ درصد کریستال‌های تولیدشده در محدوده قطری ۱۸-۹۵ نانومتر بودند که ۶۰/۶ درصد از این تیمار در محدوده قطری ۱۸-۳۰ نانومتر قرار داشت.



C

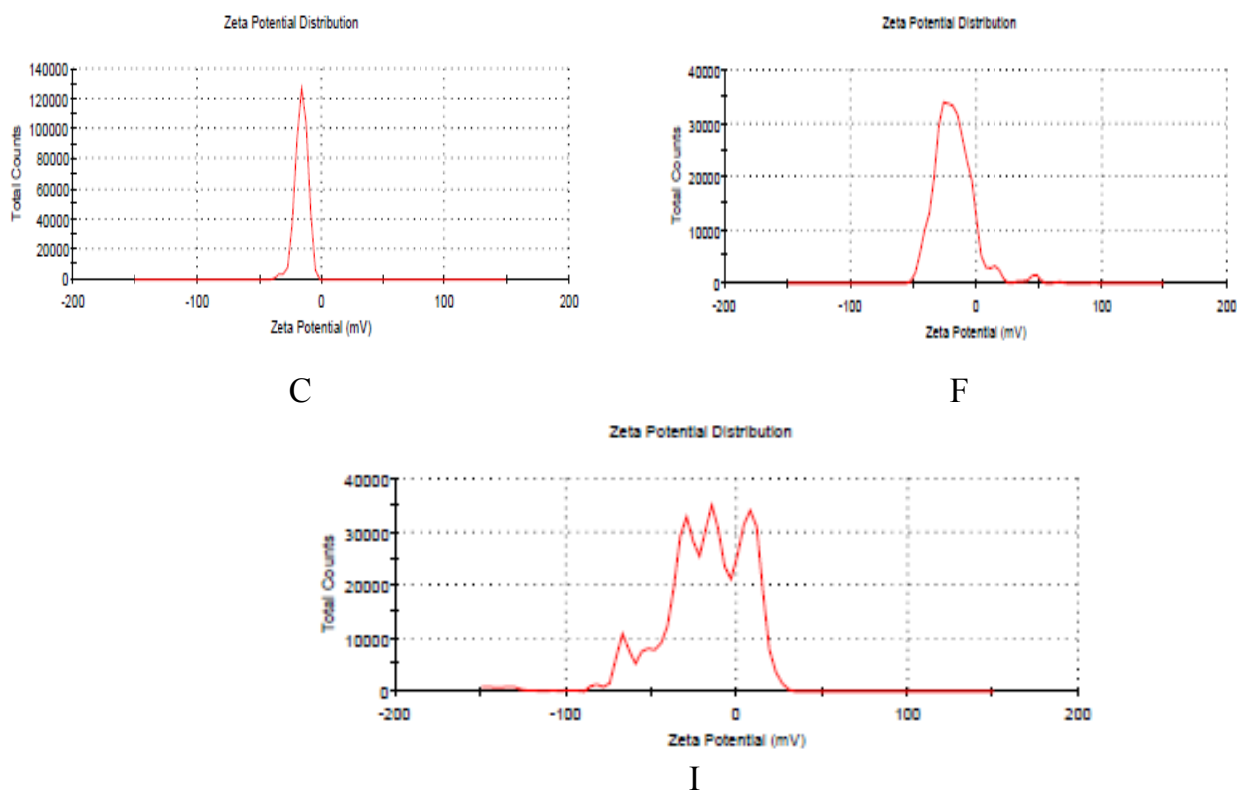


F



I

شکل ۴- قطر کریستال‌های سلولز در تیمارهای هیدرولیز اسیدی

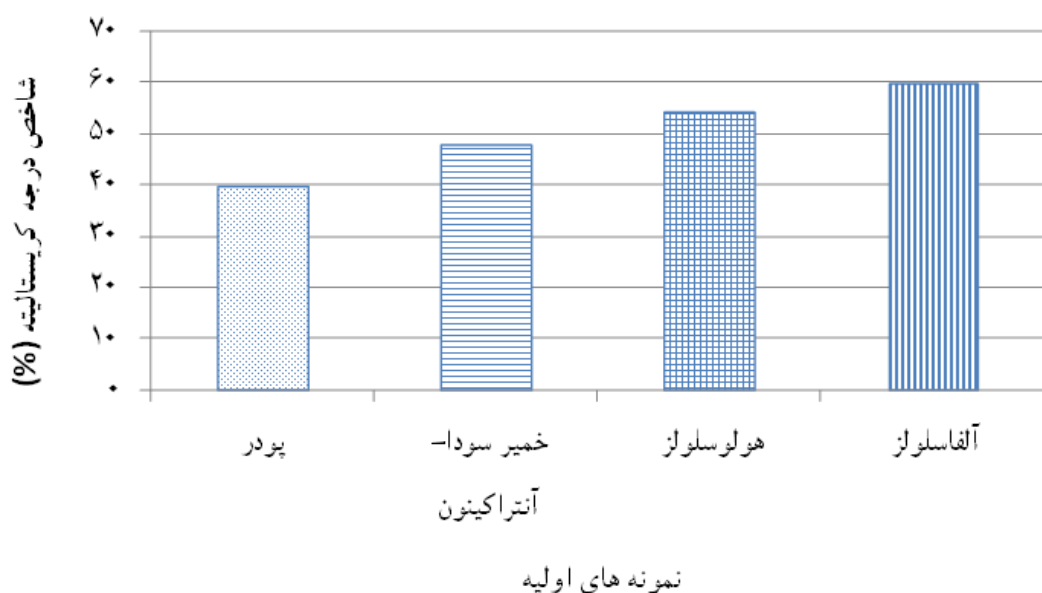


شکل ۵- پتانسیل زتا نانو کریستال‌های سلولز در تیمارهای هیدرولیز اسیدی

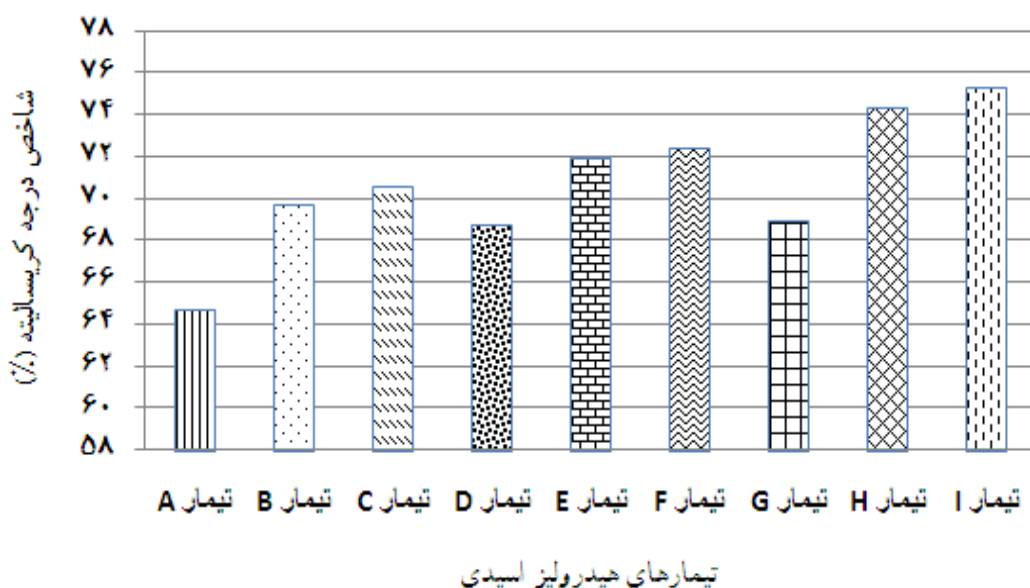
تیمارهای شیمیایی طی مراحل خالص‌سازی منجر به افزایش درجه کریستالیته می‌شود. در بررسی حاضر تمامی مراحل خالص‌سازی منجر به افزایش درجه کریستالیته شده است (شکل ۶). همچنین در مطالعات Johara و همکاران (۲۰۱۱) و Henrique و همکاران (۲۰۱۲) درجه کریستالیته طی تیمارهای هیدرولیز اسیدی با افزایش زمان و دما بیشتر شده است. در حقیقت، افزایش زمان و دما منجر به حذف بیشتر مناطق آمورف می‌شود و مناطق کریستالی بیشتری باقی می‌ماند. به این دلیل، روند تغییر درجه کریستالیته طی تیمارهای هیدرولیز اسیدی صعودی بوده است (شکل ۷).

تعیین بازده طبق روش Li و Fan (۲۰۱۲) بازده در تیمارهای F, C و I بر اساس رابطه (۱) حساب شدند. مقدار بازده در تیمار C، ۱۶/۶۳ درصد و تیمار F، ۳۱/۶۰ درصد و تیمار I، ۳۱/۹۱ درصد به دست آمد.

بحث
مقایسه درجه کریستالیته نانوکریستال سلولز با پراش XRD
طبق پژوهش‌های Oksman و همکاران (۲۰۱۰) انجام



شکل ۶- تأثیر مراحل آماده سازی آلفاسلولز بر درجه کریستالیته



شکل ۷- تأثیر تیمارهای هیدرولیز اسیدی بر درجه کریستالیته

دلیل سست شدن پیوندهای هیدروژنی بیشتر خواهد شد. تصاویر تیمارهای شدیدتر نظیر C, F, G, H و I بیانگر این روند تغییر می‌باشند.

آنالیز تصویری میکروسکوپ نیروی اتمی AFM طبق بررسی‌های Beck-Candanedo و همکاران (۲۰۱۱) و Benavides (۲۰۰۵) با افزایش دما و زمان، امکان جدا شدن دسته‌های کریستال از مناطق کریستالی به

استری شدن گروههای هیدروکسیل نانوکریستال‌ها، به موجب نیروی دافعه الکترواستاتیک بین نانوکریستال‌ها، سوسپانسیون‌های پایدارتری را در برابر سایر اسیدهای (Kargarzadeh et al., 2012) و Bondeson (2011) و همکاران (2006) در پژوهش‌های خود تأثیر شدت تیمار و افزایش پتانسیل زتا نانوکریستال‌های سلولز تولیدشده را اثبات کردند. در پژوهش حاضر با شدیدتر شدن تیمار به دلیل افزایش نسبت سطح به حجم متناسب با کاهش اندازه نانوکریستال‌ها و حضور بیشتر گروههای هیدروکسیل بر روی سطوح نانوکریستال‌ها، پتانسیل زتا بیشتری نشان داده می‌شود (شکل ۸).



شکل ۸- تأثیر شدت تیمار در پتانسیل زتا

کاهش بازده و کیفیت کریستال‌های تولیدشده می‌شود. در حقیقت، افزایش دما و زمان منجر به تخریب ساختار کریستال و در شرایط شدیدتر تبدیل آن به گلوکر می‌شود (Rangauskas and Li, 2010). در بررسی حاضر شدت تیمارها در حدی است که منجر به افزایش بازده شده است (شکل ۹)، که این امر در تولید نانوکریستال‌های سلولز بسیار با اهمیت است.

پراکندگی نور دینامیکی DLS تعیین قطر کریستال‌ها

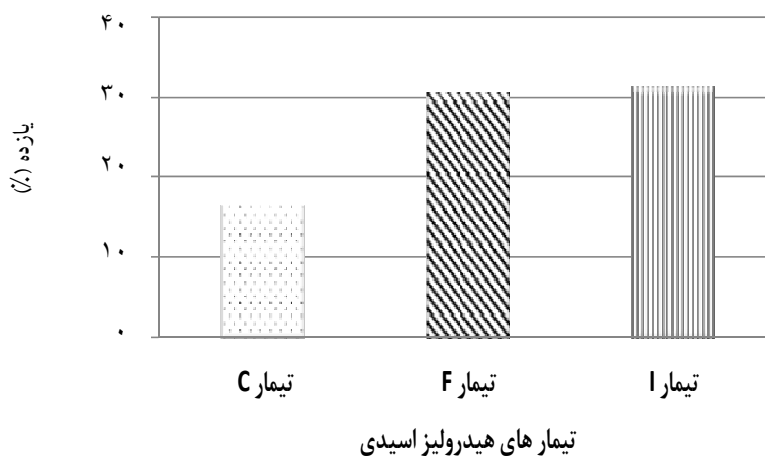
Beck-Candanedo (2005) و Benavides (2011) در پژوهشی پیرامون تولید نانوکریستال‌های سلولز دریافتند که با شدیدتر شدن تیمار، فراوانی نانوکریستال‌های سلولز بیشتر می‌شود و کریستال‌هایی با قطر کمتر تولید می‌شوند. در حقیقت، امکان جداسازی کریستال‌ها از مناطق کریستالی با سست شدن پیوندهای هیدروژنی در تیمارهای شدیدتر فراهم می‌شود.

پتانسیل زتا

طبق تعریف پتانسیل زتا، که معرف حضور گروههای هیدروکسیل بیشتر بر روی فیبریل‌ها است. درواقع در واکنش هیدرولیز اسیدی با استفاده از اسیدسولفوریک به دلیل

تعیین بازده

پژوهش‌های Bondeson و همکاران (2006)، Ragauskas و همکاران (2010)، Li و Ragauskas (2012) و Ioelovich (2012) در پژوهش‌های خود تأثیر شدت تیمار بر بازده نانوکریستال‌های سلولز را بررسی کردند. در این بررسی یافتند که با شدیدتر شدن تیمار، تا اندازه‌ای منجر به افزایش بازده نانوکریستال‌های سلولز و کیفیت کریستال‌های تولیدشده می‌شود، بلکه بیشتر شدن شدت تیمار منجر به



شکل ۹- تأثیر شدت تیمار هیدرولیز اسیدی در بازده نانوکریستال‌ها

انجام تیمارهای شیمیایی به منظور خالص‌سازی ماده اولیه سلولزی و همچنین تیمارهای هیدرولیز اسیدی اثر مثبتی در افزایش درجه کریستالیته داشته است که افزایش کریستالیته معرف حذف بیشتر مناطق آمورف بوده و این مسئله حکایت از ضریب لاغری بیشتر نانوکریستال‌های تولیدشده است. در واقع با شدیدتر شدن دما و زمان در هر تیمار، فراوانی تولید نانوکریستال‌هایی با قطر کمتر بیشتر شده است، طوری که در شدیدترین تیمار ۹۸/۷ درصد کریستال‌ها، قطری در محدوده ۶۰/۶-۹۵ نانومتر داشته‌اند که بیشترین فراوانی آن (درصد) در محدوده قطری ۱۸-۳۰ نانومتر بوده است. همچنین با افزایش دما و زمان به دلیل استری شدن بیشتر گروه‌های عاملی سطحی نانوکریستال‌ها، پتانسیل زتای بیشتری داشته‌اند. این امر با توجه به کاربرد نانوکریستال‌ها در صنعت کاغذسازی امر مهمی به‌شمار می‌آید. در حقیقت، از مهمترین پارامترهایی که در تعیین بهترین شرایط تولید نانوکریستال سلولز مطرح می‌شود؛ بازده است. بازده در این بررسی با شدیدتر شدن تیمار، بیشتر شده است. البته این روند همیشه این چنین نیست بلکه در پژوهش حاضر شرایط تیمار به نحوی بوده است که با شدیدتر شدن تیمار بازده افزایش یافته است.

انتخاب روش بهینه تولید نانوکریستال سلولز طبق پژوهش‌های Ioelovich (۲۰۱۲) دمای ۴۵-۵۵ درجه سانتی‌گراد و زمان ۴۰-۶۰ دقیقه به عنوان بهترین دما و زمان در تولید نانوکریستال‌های سلولز با هدف دستیابی به ویژگی‌های مطلوب کمی و کیفی معرفی می‌شود. همچنین Dhar (۲۰۰۶) در پژوهش‌های خود دمای ۴۰-۵۰ درجه سانتی‌گراد و زمان حداقل ۱۳۰ دقیقه را به عنوان شرایط بهینه اعلام کرده است. در بررسی حاضر با توجه به نتایج و مباحث مطرح شده، زمان ۴۵ دقیقه و دمای ۵۵ درجه سانتی‌گراد در مقایسه با سایر تیمارها به عنوان مطلوب‌ترین شرایط ممکن در هیدرولیز اسیدی با استفاده از اسید‌سولفوریک ۶۴ درصد و نسبت اسید به سلولز: ۱/۱۳ سی‌سی به ازای گرم است.

نتیجه‌گیری

در پژوهش حاضر، تیمار هیدرولیز اسیدی با دمای ۵۵ درجه سانتی‌گراد در مدت زمان ۴۵ دقیقه به عنوان بهترین شرایط نسبت به سایر تیمارها برای ساقه پنبه بوده است؛ زیرا نانوکریستال‌های تولیدشده در شرایط مذکور دارای کریستالیته زیاد، فراوانی بیشتر در محدوده نانومتری و بیشترین بازده بوده است.

- Nanoindentation And Thermogravimetric Studies. Cellulose Chem. Technol". 46:13-18.
- Li, Y. and Ragauskas, A.J., 2010. Cellulose nano whiskers as a reinforcing filler in polyurethanes. Pp:17-36. In Reddy, I.B. (Eds.), Advances in Diverse Industrial Applications of Nanocomposites. Nanomaterials. pp:300.
- Li, W., Wang, R. and Liu, Sh., 2011. Nanocrystalline cellulose prepared from softwood kraft pulp via ultrasonic-assisted acid hydrolysis. Bioresource. 6:4271-4281.
- Martins, M.A., Teixeira, E.M., Corre^a, A.C., Ferreira, M. and Mattoso, L.H.C., 2011. Extraction and characterization of cellulose whiskers from commercial cotton fibers. J Mater Sci. pp:7858–7864.
- Mazandaranim, M. and GHasemian, A., 2013. Investigation of fiber dimension and chemical composition of cotton stalk of sahel species. The second congress of national of agricultural costant development and healthy environment. Hamedan. September 12.
- Oksman, K., Mathew, A.P., Bondeson, D. and Kvien, I., 2006. Manufacturing process of cellulose whiskers/polylactic acid nanocomposites. Compos Sci Technol. 66:2776–2784.
- Segal, L., Creely, J., Martin, J.A. and Conrad, M., 1959. An empirical method for estimating the degree of crystallinity of native cellulose using the X-ray diffractometer. Text. Res. J 29:786-794.
- Shostrom, A. 2002. Wood chemistry, translated mirshkraei, ahmad, Tehran, aeizh, pp:194.
- Siro, I., Plackett, D., 2010. Microfibrillated Cellulose And New Nanocomposite Materials: A Review, Cellulose, 17: 459–494.
- Teixeira, E.M., Bondancia, T.J., Ricardo Teodoro, K.B., Correa, A.C., Marconcini, J.M. and CaparelliMattoso, L.H., 2010. Sugarcane bagasse whiskers: Extraction and characterizations. Industrial Crops and Products. 33: 63–66.
- Thomas, S., Paul, S.A., Pothan,L.A., Deepa, B., 2011. Natural Fibres: Structure, Properties and Applications. Pp:4-37. In Kalia, S., Kaith, B.S. and Kaur, I., (Eds.). Cellulose fibers: bio- and nano-polymer composites. Springer. pp:213.
- Wise, L.E., Daddieco, M.M.A., 1946. Chlorite holocellulose, its fractionation and bearing on summative wood analysis and on studies on the hemicelluloses, Tappi Section 11.

منابع مورد استفاده

- Bondeson, D., Mathew, A. and Oksman, K., 2006. Optimization of the isolation of nanocrystals from microcrystalline cellulose by acid hydrolysis. Cellulose. 13:171–180.
- Beck-Candanedo, S., Roman, M. and Gray, D.G., 2005. Effect of reaction conditions on the properties and behaviour of wood cellulose nanocrystals suspensions. Biomacromolecules. 6:1048-54.
- Benavides, E.E.U., 2011. Cellulose nanocrystals properties and applications in renewable nanocomposites. A Dissertation Presented to The Graduate School of Clemson University.
- Dhar, N., 2006. Novel cellulose nanoparticles for potential cosmetic and pharmaceutical applications. Presented to the university of waterloo in fulfilment of the thesis requirement for the degree of master of applied science in chemical engineering.
- Fan, J.SH., Li, Y.H., 2012. Maximizing the yield of nanocrystalline cellulose from cotton pulp fiber. Carbohydrate Polymers. 88:1184– 1188.
- Gong, G., Mathew, A.P. and Oksman, K., 2011. Strong aqueous gels of cellulose nanofibers and nanowhiskers isolated from softwood flour. Tappi Journal. pp. 7-14.
- Henrique, M.A., Silvério, H.A. and Pasquini D., 2012. Extraction and characterization of cellulose nanocrystals from mango seeds in view of their use as reinforcement in nanocomposites. Universidade Federal de Uberlândia, Uberlândia, MG, Brazil.
- Ioelovich, M., 2012. Optimal conditions for isolation of nanocrystalline cellulose particles. Nanoscience and Nanotechnology. 2:9-13.
- Johara, N., Ahmad, I. and Dufresne, A., 2011. Extraction, preparation and characterization of cellulose fibres and nanocrystals from rice husk. Industrial Crops and Products. 37: 93– 99.
- Kargarzadeh, H., Ahmad, I., Abdullah, I., Dufresne, A., Zainudin, S. Y. and Sheltami, R.M., 2012. Effects of hydrolysis conditions on the morphology, crystallinity, and thermal stability of cellulose nanocrystals extracted from kenafbast fibers. Cellulose. 19:855–866.
- Krishnamachari, P., Hashaikeh, R., Chiesa M., Gad EL Rab, k.R.M., 2011. Effects Of Acid Hydrolysis Time On Cellulose Nanocrystals Properties:

Optimum Production of Cellulose Nanocrystal from Cotton Stalk under Acidic Hydrolysis Condition

**M. Mazandarani^{1*}, A. Ghasemian², A. Saraiyan²,
M. Mashkour³ and S.R. Jafari Petroudy⁴**

1^{*} - Corresponding author, M.Sc., in Pulp and Paper Industries, Gorgan University of Agricultural Sciences and Natural Resources, Iran, E-mail: Mahdiye.mazandarani@yahoo.com

2- Associate Prof. in Pulp and Paper Industries, Gorgan University of Agricultural Sciences and Natural Resources, province: Golestan, Iran

3- Assistant Prof. in Wood Engineering and Technology, Gorgan University of Agricultural Sciences and Natural Resources, province: Golestan, Iran

4- Assistant Prof. in Cellulose and Paper Technology, Faculty of Engineering and New Technologies, Shahid Beheshti University, province: Mazandaran, Iran

Received: June, 2014 Accepted: Feb., 2015

Abstract

In the present study, preparation of cotton stalk (Sahel variety) as one of the common agricultural residues was studied through three stages as Soda-AQ chemical pulping, delignification and alkaline treatment, aiming for the production of cellulose nanocrystal. In order to identify the optimum condition for the preparation of cellulose nanocrystal, acidic hydrolysis of the produced alpha-cellulose was done using 64% sulfuric acid, 25, 35 and 45 minute as time and at 35, 45 and 55 °C as temperature. Atomic Force Microscopy (AFM), X-Ray Diffraction, and Dynamic Light Scattering (DLS) were used to identify the quantitative and qualitative properties of cellulose nanocrystals. AFM micrographs showed that more severe condition of the treatments decreased the thickness of the cellulose nanocrystals. XRD results also demonstrated that the preparation stages of alpha-cellulose as well as acidic hydrolysis treatments much effectively increased the degree of crystallinity. DLS results indicated that 98.7 percent of the produced nanocrystals under the condition of 55 °C and 45 minute were in the range of 18-95 µm., whose highest abundance was in the range of 18-39 µm. Thus, the mentioned condition were determined as the best and optimum condition for the production of cellulose nanocrystal from cotton stalk cellulose.

Keywords: Nanotechnology, acidic hydrolysis, Cellulose nanocrystal, Cotton stalk.